

بررسی دقیق سیستم یک درجه آزادی معادل

برای تحلیل دینامیکی سکوهای ثابت دریایی مجهز به میراگر جرمی

مصطفی اخوات

کارشناس ارشد مهندسی عمران
دانشکده مهندسی عمران
دانشگاه علم و صنعت ایران

akhavatmostafa@yahoo.com

* محمد رضا تابش پور

استادیار قطب علمی هیدرودینامیک و دینامیک متحرک‌های دریایی
دانشکده مهندسی مکانیک
دانشگاه صنعتی شریف

tabeshpour@sharif.edu

تاریخ پذیرش: ۱۳۹۲/۱۲/۲۸

تاریخ دریافت: ۱۳۹۲/۱۱/۲۹

چکیده

چون تحلیل دینامیکی سکوهای جاکت تحت بارگذاری زلزله، بهدلیل آثار هیدرودینامیکی و اندرکنش آب و سازه، بسیار هزینه‌بر و وقت‌گیر است، می‌توان از روش‌های ارائه‌شده در سازه‌های ساختمانی با انجام اصلاحاتی بهره برد. در این مقاله به بررسی روش مبتنی بر مود اول در سازه‌های ساختمانی برای تحلیل لرزه‌ای سکوهای جاکت برای دو حالت با و بدون میراگر پرداخته شده است. در این رهگذر، نخست روش ارائه‌شده در آیین‌نامه‌های طراحی لرزه‌ای معرفی شده، سپس کاربرد آن در تحلیل لرزه‌ای سکوهای ثابت دریایی تحت رکوردهای گسل نزدیک و گسل دور در دو حالت سازه با میرایی ذاتی و بدون میرایی ذاتی مورد بررسی قرار گرفته است. در ادامه، کاربرد این روش در ارزیابی دینامیکی سکو با میراگر جرمی متوازن شده نیز تحت رکوردهای گسل نزدیک و گسل دور در دو حالت سازه با میرایی ذاتی و بدون میرایی ذاتی مورد ارزیابی قرار گرفته است. نتایج به دست آمده بیانگر این است روش یک درجه آزاد معادل دارای خطای بسیار کمی در محاسبه پاسخ سازه‌بدون میرایی طبیعی و میراگر جرمی است. همچنین کاربرد این روش به طور قابل توجهی به محتوای فرکانسی رکوردهای مورد استفاده در آنالیز برای حالت‌های گوناگون بستگی دارد.

واژگان کلیدی: سکوهای ثابت دریایی، جاکت، تحلیل دینامیکی، سیستم یک درجه آزاد معادل، میراگر جرمی

۱. مقدمه

شرایط دریایی حوزه نفتی و عمق آب پیشنهاد و مورد بهره‌برداری قرار گرفته است که از ان جمله می‌توان به سکوی جکاپ، سکوی پایه کششی و سکوهای پایه ثابت

یکی از دلائل اهمیت دریا و اقیانوس وجود منابع بسیار انرژی همچون نفت و گاز است. تاکنون برای استخراج و بهره‌برداری از این منابع گزینه‌های متعددی متناسب با

است که با در نظر گرفتن اثر مودهای بالاتر و المان‌بندی اجزای جاکت زمان طرح و آنالیز نیز بهشت افزایش می‌یابد. در این مقاله، روشی مبتنی بر مود اول برای تحلیل لرزه‌ای سکوهای جاکت برای دو حالت با و بدون میراگر بررسی شده است. این روش بسیار ساده است و در اکثر آیین‌نامه‌های طراحی لرزه‌ای ساختمان‌ها نیز به عنوان یک روش ساده و کارآمد توصیه شده است و می‌توان از آن برای به دست آوردن یک طرح اولیه در تحلیل و طراحی سازه‌های ساختمانی بسیار پیچیده استفاده کرد. برای این امر، ابتدا روش ارائه شده در آیین‌نامه‌های طراحی لرزه‌ای معرفی و سپس کاربرد آن در تحلیل لرزه‌ای سکوهای جاکت ثابت دریایی تحت رکوردهای گسل نزدیک و گسل دور در دو حالت سازه با میراگر ذاتی و بدون میراگر ذاتی بررسی شده است. در ادامه، کاربرد این روش در ارزیابی دینامیکی سکو با میراگر جرمی متوازن شده نیز تحت رکوردهای گسل نزدیک و گسل دور با زمان تداوم‌های متفاوت در دو حالت سازه با میراگر ذاتی و بدون میراگر ذاتی مورد ارزیابی قرار گرفته است. نتایج نشان می‌دهند که روش وابستگی زیادی به محتوای فرکانسی رکوردهای مورد استفاده در آنالیز برای حالت‌های گوناگون دارد. همچنین کارایی این روش دارای خطای بسیار کمی در محاسبه پاسخ سازه بدون میراگر طبیعی و میراگر جرمی است.

۲. میراگر جرمی متوازن‌شونده

میراگر جرمی متوازن‌شونده در ساده‌ترین حالت ممکن شامل یک جرم، فنر و میراگر است و معمولاً در بالاترین تراز سازه و یا در محلی که بیشترین تغییر مکان در آن اتفاق می‌افتد، نصب می‌شود، تا پاسخ‌های سازه را تحت بارهای جانبی (چون باد) کاهش دهد. نحوه طراحی این سیستم به گونه‌ای است که فرکانس طبیعی ارتعاش آن با فرکانس ارتعاشی سازه تنظیم می‌شود تا پاسخ‌های سازه را در حالت روزانه‌ای کاهش دهد. میراگر جرمی متوازن‌شونده تا حدودی برای بار باد و طیفی از امواج، به دلیل دارا بودن

شاپلوونی اشاره کرد. در این میان سکوهای پایه ثابت شاپلوونی (جاکت) به دلیل مناسب بودن برای آب‌های کم‌عمق و متوسط می‌تواند یکی از گزینه‌های مناسب برای حوزه‌های نفتی خلیج فارس باشد. آنالیز و طراحی این دسته از سکوها همواره وقت‌گیر و هزینه‌بر است. از این روش‌هایی برای آنالیز لرزه‌ای و بارگذاری موج سکویی جاکت با و بدون میراگر جرمی متوازن شونده نموده‌اند.

یاماذا و همکاران (۱۹۸۸) پاسخ لرزه‌ای سازه‌های فراساحلی در شرایط تصادفی دریا، با در نظر گرفتن میراگر هیدرودینامیکی متأثر از تصادفی بودن شرایط دریا، را مطالعه کردند [۱]. جین (۱۹۹۶) نیز مدل تیر طهای ساده‌ای برای تحلیل سکوهای فولادی پایه ثابت تحت بارهای موج و زلزله ارائه کرد که در آن نیروهای میرائی هیدرودینامیکی متناسب با مربع سرعت نسبی موج و سازه بودند [۲]. جین و همکاران (۱۹۹۷) پاسخ تصادفی سکوهای پایه ثابت را تحت بارگذاری همزمان موج و زلزله و اعمال یکسان در هر دو راستا را مورد بررسی قرار دادند [۳]. اعتماد و همکاران (۲۰۰۴) نیز آنالیز تاریخچه زمانی سکو جاکت را تحت بارهای موج و زلزله و با فرض اعمال در راستاهای گوناگون بررسی کردند [۴]. به تازگی نیز مین‌سوپارک و همکاران (۲۰۰۱) یک مدل عددی سه‌بعدی برای آنالیز تاریخچه زمانی بارهای لرزه‌ای با استفاده آنالیز مودال و روش زیرسازه برای در نظر گرفتن اندرکنش شمع‌ها و خاک معرفی کردند [۵]. در کنترل فعل یکانو و ونکاتیرامانا (۱۹۹۲) به ارزیابی پاسخ لرزه‌ای سکوی مججهز شده به میراگر جرمی فعل متوازن‌شونده با در نظر گرفتن اندرکنش خاک و سازه پرداخته شده است [۶]. ماهادیک و جانگید (۲۰۰۳) نیز پاسخ ارتعاشات سکو با میراگر جرمی متوازن‌شونده فعل را تحت بارگذاری موج را بررسی نمودند [۷].

همان‌گونه که در مطالعات فوق مشاهده می‌شود، اغلب روش‌ها مبتنی بر آنالیز مودال و روش‌های المان محدود

$$f_{opt} = \frac{1}{1+\mu} \quad (2)$$

۳. معادلات حاکم بر سیستم یک درجه آزاد معادل معادله حرکت یک سازه n درجه آزادی میرا تحت تحریک زمین به صورت معادله ۳ است:

$$M\ddot{U} + C\dot{U} + KU = -M\ddot{U}_g \quad (3)$$

به طوری که در این معادله M و C و K به ترتیب ماتریس‌های جرم، میرایی و سختی سازه با ابعاد $n \times n$ و U بردار تغییرمکان به بعد n و \ddot{U}_g بردار شتاب تحریک زمین به صورت ۴ است:

$$\ddot{U}_g = a_g \begin{Bmatrix} 1 \\ \vdots \\ 1 \end{Bmatrix} \quad (4)$$

در این مقاله میرایی ذاتی با استفاده از میرایی رایلی و براساس رابطه ۵ می‌باشد.

$$C = \alpha K + \beta M \quad (5)$$

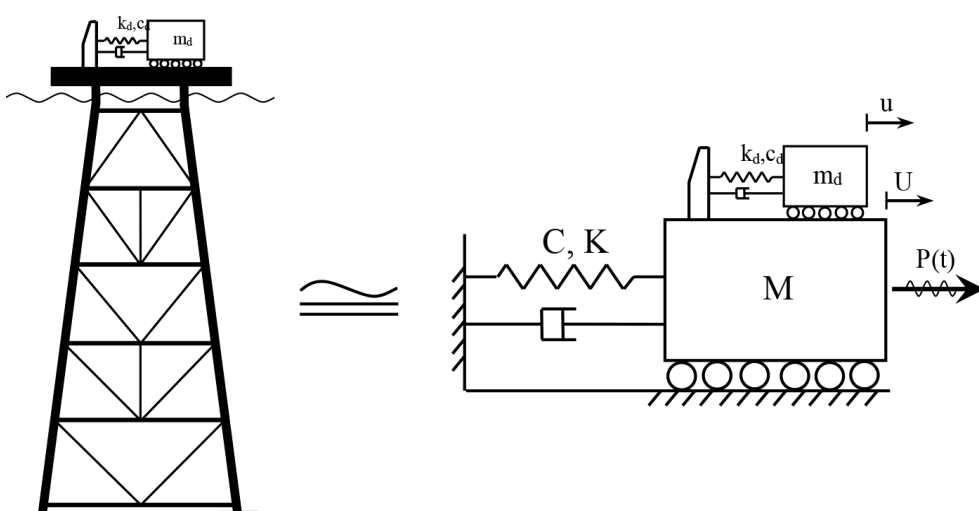
به طوری در این رابطه با توجه به آنکه سهم ماتریس جرم در محاسبه ماتریس میرایی ناچیز است می‌توان از آن صرف نظر کرد و رابطه را به صورت رابطه ۶ بازنویسی نمود:

$$C \approx \alpha K \quad (6)$$

پهنهای باند نسبتاً محدود، مناسب است. از این‌رو برای منطقه خلیج فارس نیز که تا حدودی دارای این ویژگی‌هاست، مناسب می‌باشد. بنابراین می‌توان از این سیستم برای بهسازی و مقاومسازی سکوهای شابلونی ثابت در این متطقه بهره گرفت. با توجه به شکل ۱ معادله حرکت میراگر جرمی به صورت معادله ۱ است:

$$\begin{pmatrix} M & 0 \\ 0 & m_d \end{pmatrix} \begin{Bmatrix} \ddot{U} \\ \ddot{u} \end{Bmatrix} + \begin{pmatrix} C + c_d & -c_d \\ -c_d & c_d \end{pmatrix} \begin{Bmatrix} U \\ u \end{Bmatrix} = \begin{Bmatrix} P(t) \\ 0 \end{Bmatrix} \quad (1)$$

این نوع از میراگرها با عملکردی مناسب می‌توانند مود اصلی ارتعاشات سازه را، که قابل تبدیل به یک سیستم یک درجه آزاد است، کنترل کنند. از این‌رو یک حل بسته برای به دست آوردن نسبت‌های میرایی و جرم بهینه به دست آمده است. این روش، که در مقالات قابل دسترسی است، براساس معادله حرکت یک سیستم یک درجه آزاد مجهزشده به میراگر جرمی متوازن‌شونده، یعنی معادله ۱، می‌باشد. این روش توسط دن‌هارتونخ برای به دست آوردن نسبت‌های میرایی و جرم بهینه ارائه شده است [۸] که برای کمینه‌کردن پاسخ ماندگار جرم اصلی است که در معرض بارهای هارمونیک قرار دارد. این رابطه به صورت معادله ۲ است:



شکل ۱. سکوی جاکت مجهزشده به میراگر جرمی و سیستم یک درجه آزاد معادل آن

$$k_{eq} = \tilde{k}_{le} = \left[\frac{1}{\Phi_{1,6}^2} \right] \tilde{k}_l \quad (17)$$

$$c_{eq} = \tilde{c}_{le} = \alpha \tilde{k}_{le} \quad (18)$$

$$u_6 = u_{eq} \quad (19)$$

با افزودن میراگر با مشخصات m_d ، k_d و $c_d = 0$ به سیستم یک درجه معادل فوق معادله حرکت ۲۰ حاصل می‌شود:

$$M_{eq} \ddot{U}_{eq} + C_{eq} \dot{U}_{eq} + K_{eq} U_{eq} = -a_g M_{eq} R \quad (20)$$

به طوری که در این معادله داریم:

$$M_{eq} = \begin{pmatrix} m_{eq} & 0 \\ 0 & m_d \end{pmatrix} \quad (21)$$

$$C_{eq} = \begin{pmatrix} c_{eq} & 0 \\ 0 & 0 \end{pmatrix} \quad (22)$$

$$K_{eq} = \begin{pmatrix} k_{eq} + k_d & -k_d \\ -k_d & -k_d \end{pmatrix} \quad (23)$$

$$U_{eq} = \begin{Bmatrix} u_{eq} \\ u_d \end{Bmatrix} \quad (24)$$

$$R = \begin{Bmatrix} 1 \\ 1 \end{Bmatrix} \quad (25)$$

۴. مطالعه موردنی

۴-۱. سکوی رسالت

سکوهای ثابت دریایی به طور معمول سازه‌های قابی با لوله‌ای فولادی هستند که به وسیله شمع به بستر دریا مهار می‌شوند. زیرسازه، که به جاکت شهرت دارد، تجهیزات تولید و ملحقات عرشه را نگه می‌دارد. استفاده از این نوع سکوها در اعماق کم و متوسط مانند آب‌های خلیج فارس بسیار مناسب و اقتصادی است. برای ارزیابی روش ارائه شده در این مقاله از یک نمونه سکوی ثابت موجود در خلیج فارس (سکوی رسالت) استفاده شده است.

۴-۲. مدل‌سازی

در این مقاله برای تحلیل دقیق سکو یک مدل دوبعدی از سازه سکوی جاکت نصب شده در حوزه نفتی رسالت و تحت تحریک زمین برای بررسی دقیق روش ارائه شده با استفاده از روش المان محدود فراهم آورده شده است. این تحلیل‌ها

با استفاده از تبدیل مختصات مودی داریم:

$$\tilde{m}_j = \Phi_j^T M \Phi_j \quad (V)$$

$$\tilde{k}_j = \Phi_j^T K \Phi_j \quad (A)$$

$$\tilde{c}_j = \Phi_j^T C \Phi_j \quad (9)$$

به طوری در معادلات اخیر \tilde{m}_j جرم تعمیم‌یافته مود j -ام، \tilde{k}_j سختی تعمیم‌یافته مود j -ام، \tilde{c}_j میرایی تعمیم‌یافته مود j -ام و نهایتاً Φ ماتریس اشکال مودی است. به این ترتیب معادله حرکت برای مود j -ام به صورت ۱۰ محاسبه می‌شود:

$$\tilde{m}_j \ddot{q}_j + \tilde{c}_j \dot{q}_j + \tilde{k}_j q_j = - \left[\sum_{i=1}^n \Phi_{ji} m_i \right] a_g \quad (10)$$

$$u_i = \sum_{k=1}^n \Phi_{ki} q_k \quad (11)$$

در معادله ۱۰، q_j پاسخ سیستم در مختصات تعمیم‌یافته در مود j -ام است که با استفاده از رابطه ۱۱ می‌توان u_i ، پاسخ جابه‌جایی سازه در درجه آزادی i -ام به تحریک زمین را به دست آورد. در ارتعاش سیستم‌های چند درجه آزاد بیشترین سهم جرم مؤثر مودی مربوط به مود اول است، بنابراین مود حاکم بر ارتعاش سیستم مود اول خواهد بود. در ارتعاش سکوهای ثابت دریایی نیز آن قضیه صادق می‌باشد و می‌توان پاسخ سازه را تا حدودی براساس مود اول تخمین زد. از این‌رو می‌توان معادله ۱۱ را به صورت زیر بازنویسی نمود:

$$u_i \approx \Phi_{ji} q_j \quad (12)$$

$$q_j = \left[\frac{1}{\Phi_{ji}} \right] u_i \quad (13)$$

$$\tilde{k}_{ie} = \left[\frac{1}{\Phi_{ij}^2} \right] \tilde{k}_i \quad (14)$$

$$\tilde{c}_{ie} = \alpha \tilde{k}_{ie} \quad (15)$$

اگر هدف محاسبه مقدار پاسخ سازه در تراز ششم در مدل سازه برپشی باشد، می‌توان با قراردادن $i = 6$ و $j = 1, 2, \dots, n$ مدل یک درجه آزاد سکو را به صورت زیر محاسبه نمود:

$$m_{eq} = \tilde{m}_{le} = \left[\frac{1}{\Phi_{1,6}^2} \right] \tilde{m}_l \quad (16)$$

طبیعی سازه نیز براساس میرایی رایلی است. روش تحلیل دینامیکی عددی سکو با استفاده روش نیومارک می‌باشد که می‌توان از آن برای سیستم‌های خطی استفاده نمود.

۴-۵. شاخص خطا

شاخص خطا برای بررسی اختلاف مقادیر پاسخ بهدست آمده از دو روش دقیق و یک درجه آزاد معادل در فرکانس‌های مختلف بهصورت رابطه ۲۶ تعریف می‌شود:

$$EI = \frac{|D_{FEM} - D_{eq}|}{(D_{FEM})_{\max}} \times 100 \quad (26)$$

بهطوری در این رابطه EI ، اندیس خطا پاسخ است و بهصورت یک کمیت بدون بعد و برحسب درصد بیان می‌شود. همچنین D_{eq} و D_{FEM} بهترتیب دامنه فوریه پاسخ تراز عرشه مدل المان محدود و دامنه فوریه مدل یک درجه آزاد معادل، $(D_{FEM})_{\max}$ دامنه فوریه بیشینه پاسخ تراز عرشه مدل المان محدود می‌باشند. در شکل‌های ۴ و ۵ منحنی‌های اندیس خطا برحسب فرکانس برای پاسخ جابه‌جا‌یی بهترتیب برای دو مدل سازه با و بدون میرایی طبیعی و میراگر جرمی تحت شتاب‌نگاشتهای نورثربیج، طبس و آکاپا ارائه شده است. مشاهده می‌شود که در شکل ۴، در تمامی رکوردها مقدار بیشینه شاخص خطا در فرکانس طبیعی سازه می‌باشد؛ زیرا در فرکانس مقدار بیشینه پاسخ نیز چه در روش یک درجه آزاد معادل چه در روش دقیق اتفاق می‌افتد. مشاهده می‌شود که در شکل ۴ در تمامی رکوردها مقدار بیشینه شاخص خطا در فرکانس طبیعی سازه می‌باشد؛ زیرا در فرکانس مقدار بیشینه پاسخ نیز چه در روش یک درجه آزاد معادل چه در روش دقیق اتفاق می‌افتد. با توجه به محتوای فرکانسی رکوردهای مورد استفاده مقادیر بیشینه متفاوت می‌باشد. در شکل ۵ منحنی دارای دو مقدار بیشینه است. این بهدلیل خصوصیات میراگر جرمی است که با افزودن میراگر به سازه تبدیل فوریه پاسخ دارای دو مقدار بیشینه خواهد شد. با افزودن میراگر، فرکانس طبیعی سازه از $68/6$ هرتز به $6/0$ هرتز کاهش می‌یابد و مشاهده می‌شود که در فرکانس مقدار بیشینه

برای تمامی رکوردهای ارائه شده در جدول ۱ و برای چهار مدل: سازه با میرایی ذاتی و میراگر، سازه با میرایی ذاتی و بدون میراگر، سازه بدون میرایی ذاتی و با میراگر و نهایتاً سازه بدون میرایی ذاتی و میراگر انجام شده است.

المان‌های مدل شده همگی بهصورت تیر ستون بوده و رفتار آنها در فرایند تحلیل بهصورت خطی می‌باشد. برای تأمین سازه برشی سکو نیز از همین مدل استفاده شده است. جرم و سختی مربوط به هر تراز در جدول ۱ ذکر شده است. در مدل سازی سازه برشی با میرایی ذاتی از میرایی رایلی استفاده می‌شود. همچنین برای میراگر جرمی نیز با استفاده از روش دن‌هارتوخ و نیز مقدار جرم مود اول، مقدار جرم میراگر 80 تن و مقدار سختی آن 1600 تن بر متر در نظر گرفته شده است. برای محاسبه مقادیر m_{eq} ، k_{eq} و c_{eq} در رابطه 20 از مدل سازه برشی و شکل مود اول سازه برشی بهره گرفته شده است.

۴-۳. شتاب‌نگاشتهای مورد استفاده

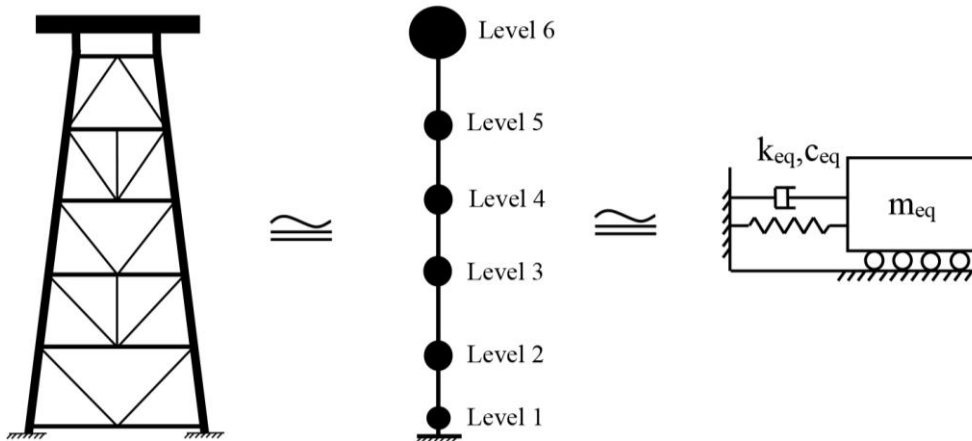
در این مقاله از 8 رکورد قابل دسترس در مرجع [۹] استفاده شده است. تمامی رکوردها به g مقیاس شده‌اند. برای بررسی بهتر رکورد از هر دو نوع گسل نزدیک و گسل دور می‌باشند. مشخصات و فاصله محل وقوع آنها از محل ثبت رکورد نیز در جدول ۱ ذکر شده است.

۴-۴. تحلیل دینامیکی سکو

حال برای بررسی و مقایسه روش دقیق تحلیل تاریخچه زمانی مدل المان محدود و روش مبتنی بر مود اول، که براساس مدل سازه برشی ایجاد شده است، مدل المان محدود سکو و مدل یک درجه آزاد معادل برای چهار حالت: سازه با میرایی ذاتی و میراگر، سازه با میرایی ذاتی و بدون میراگر، سازه بدون میرایی ذاتی و با میراگر و نهایتاً سازه بدون میرایی ذاتی و میراگر تحت تحریکات زمین اورده شده در جدول ۲ تحلیل تاریخچه زمانی می‌شود. تمامی این تحلیل‌ها با فرض خطی‌بودن رفتار مصالح بوده و میرایی

نورثریج و در شکل ۵ مربوط به شتابنگاشت طبیعی می-باشد.

اتفاق میافتد. با مقایسه دو شکل ۴ و ۵ نکته قابل تأمل آن است که مقدار بشینه در شکل ۴ مربوط به شتابنگاشت



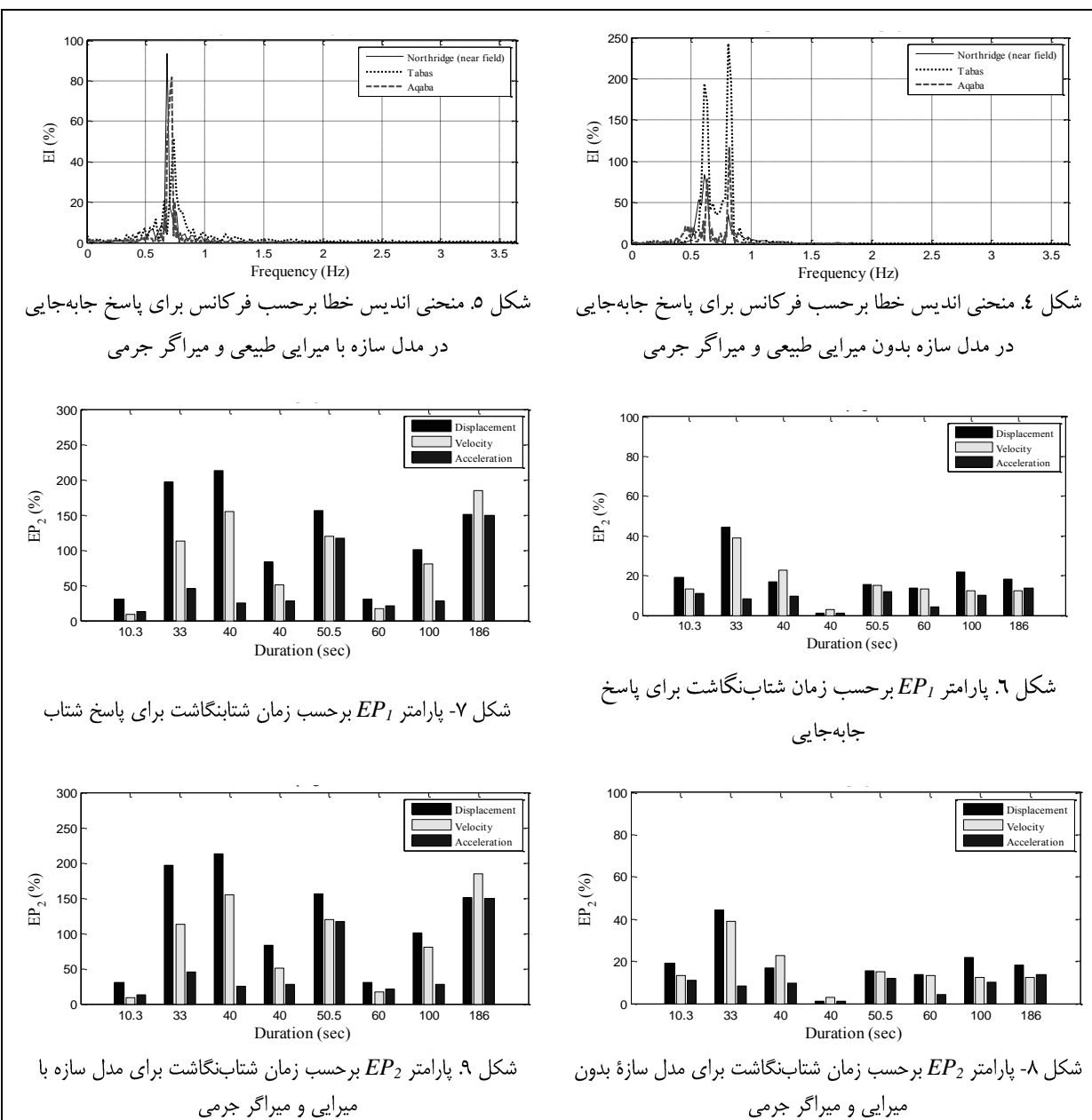
شکل ۳. مدل دو بعدی سکو و تبدیل آن سازه یک درجه آزاد معادل

جدول ۱. مقادیر سختی و جرم در هر تراز در سازه برشی

سختی (تن بر متر)	جرم (تن)	
۴۳۵۴	۱۱۰	تراز ۱
۱۲۶۹	۱۸۲	تراز ۲
۱۱۸۳	۱۵۲	تراز ۳
۱۰۷۶	۱۴۶	تراز ۴
۹۷۰	۱۳۲	تراز ۵
۱۰۰۶	۸۶۵	تراز ۶

جدول ۲. رکوردهای مورد استفاده در تحلیل

Num	Record	Date	Station	Duration (sec)	Distance (km)
1	Tabas	9/16/1978	9101 Tabas	33	
2	NORTHRIDGE	1/17/1994	SYLMAR-CONVERTER STA	40	6.2
3	CHICHI	9/20/1999	CHY006	100	14.93
4	Anza (Horse Cany)	2/25/1980	135 LA - Hollywood Stor PE Lot	10.3	41.4
5	Aqaba	11/22/1995	Eilat	60	93.8
6	NORTHRIDGE	1/17/1994	SAN BERNARDINO-E & HOSP	40	108.1
7	Kocaeli, Turkey	8/17/1999	Kutahya	33	144.6
8	Borrego Mtn	4/9/1968	5049 Borrego Air Ranch	186	217.4



به صورت کمیت‌هایی بدون بعد و بر حسب درصد بیان می‌شوند. همچنین $(D_{eq})_{max}$ و $(D_{FEM})_{max}$ نیز به ترتیب دامنه فوریه بیشینه پاسخ تراز عرضه مربوط به مدل المان محدود و مدل یک درجه آزاد معادل می‌باشند. نکته‌ای که در روابط ۲۷ و ۲۸ باید بدان توجه داشت این است که باید پارامتر خطای نوع یک، مربوط به بیشینه اختلاف بین دو دامنه فوریه در یک فرکانس متناظر می‌باشد، حال آنکه پارامتر خطای نوع دو مربوط به دامنه‌های فوریه بیشینه در فرکانس‌های متفاوت است.

۴-۶. پارامتر خطا

پارامتر خطا برای بررسی و مقایسه مقادیر پاسخ بیشینه به دست آمده از دو روش ذکر شده، در روابط ۲۷ و ۲۸ ارائه شده است:

$$EP_1 = \frac{\max |D_{FEM} - D_{eq}|}{(D_{FEM})_{max}} \times 100 \quad (27)$$

$$EP_2 = \frac{|(D_{FEM})_{max} - (D_{eq})_{max}|}{(D_{FEM})_{max}} \times 100 \quad (28)$$

به طوری که در این روابط، EP_1 و EP_2 به ترتیب پارامتر خطای نوع یک و پارامتر خطای نوع دو پاسخ می‌باشند که

۵. نتیجه‌گیری

با افزایش زمان تداوم زلزله مشاهده شد که این امر در مورد پاسخ جابه‌جایی باشد بیشتری همراه است. کارایی روش یک درجه آزاد معادل در مورد سازه بدون میرایی طبیعی و میراگر جرمی مشاهده شد و نیز این روش در محاسبه پاسخ شتاب نسبت پاسخ تغییرمکان خطای کمتری دارد. مودهای بالاتر در پاسخ سازه مججهز شده به میراگر جرمی مشارکت بیشتر دارند. وابستگی بسیار زیاد روش یک درجه آزاد معادل به محتوای فرکانسی شتابنگاشتهای مورد استفاده در تحلیل دیده شد.

با توجه به مباحث مطرح شده و نتایج به دست آمده از تحلیل‌های انجام شده روی سکوی رسالت موارد زیر را می‌توان به اجمالی بیان نمود.

افزایش مقدار شاخص خطا (EI) در فرکانس طبیعی سازه در دو حالت با و بدون میراگر جرمی در هنگام استفاده از روش یک درجه آزاد معادل در تمامی رکوردهای مورد استفاده مشاهده شد؛ البته در سایر فرکانس‌ها این مقدار به صورت چشم‌گیری کاهش می‌یابد، به طوری که می‌توان از آن صرف‌نظر کرد. افزایش نسبی مقدار EP_1 (بیشینه EI)

۶. مأخذ

- [1] Yamada, Y., K. Kawano, H. Iemura, K. Venkataramana. "Wave and earthquake response of offshore structure with soil–structure interaction." *Proc JSCE, Structure Eng/Earthq Eng*, 1988, 5(2):361–70.
- [2] Jain, A.K. "Dynamics of Offshore Structures under Sea Waves and Earthquake Forces." *American Society of Mechanical Engineers, Offshore Technology*, 1996, Vol. 1, pp. 191-198.
- [3] Jin, D.Y., T. Matsui. "Stochastic Response Analysis of Jacket-Type Ocean Platforms under Simultaneously Acting Waves and Earthquakes." *American Society of Mechanical Engineers, Safety and Reliability*, 1997, Vol. 2, pp. 297-302
- [4] Etemad, A.K., A.R.M. Gharabaghi, M.R. Chenaghlu. "Nonlinear dynamic behavior of fixed jacket-type offshore platforms subjected to simultaneously acting wave and earthquake loads." *23rd International Conf. on Offshore Mech. and Arctic Eng.*, Vancouver: American Society of Mechanical Engineers, 2004, pp. 893-900
- [5] Park, M., W. Koo, K. Kawano. "Dynamic response analysis of an offshore platform due to seismic motions." *Engineering Structures*, 2011, 33 pp.1607–1616.
- [6] Kawano, K., K. Venkataramana. "Seismic response of offshore platform with TMD." *Proc. of 10th World Conference on Earthquake Engineering*, 1992, 4, pp. 241–2460.
- [7] Mahadik, A.S., R.S. Jangid. "Active control of offshore jacket platforms." *International Shipbuilding Progress*, 2003, 50, pp. 277–295.
- [8] Soong, T.T., G.F. Dargush. *Passive energy dissipation systems in structural engineering*, Wiley, London, 1997.
- [9] PEER Strong Motion Database, <http://peer.berkeley.edu/smcat/search.html> (accessed April 10, 2014).
- [10] Chopra, A.K. *Dynamics of Structures Theory and Applications to Earthquake Engineering*, Prentice Hall, Upper Saddle River, NJ, 1995.